

## РАДИОФИЗИКА

УДК 533.951.8

## ХАРАКТЕР НЕУСТОЙЧИВОСТИ ПРИ СВЯЗИ ДВУХ ВЕТВЕЙ СПЕКТРА КОЛЕБАНИЙ В БЛИЗИ ПОЛОСЫ НЕПРОЗРАЧНОСТИ

**И. Н. Карташов, М. В. Кузелев**

(кафедра физической электроники)

E-mail: kartashov@ph-elec.phys.msu.su

**Рассмотрена задача развития неустойчивости системы, которая обусловлена наличием двух связанных волн вблизи полосы непрозрачности. Показано, что в этом случае система является абсолютно неустойчивой. Найдены инкременты развития неустойчивости.**

Исследование устойчивости системы относительно малых монохроматических возмущений сводится к решению дисперсионного уравнения  $D(\omega, k) = 0$ , которое получается в результате линеаризации «уравнений движения» системы относительно малых возмущений вида  $\exp(-i\omega t + ikx)$ . Частота  $\omega = \omega(k)$  определяет временную динамику развития возмущений с волновым числом  $k$ . Если мнимая часть частоты положительна ( $\operatorname{Im} \omega > 0$ ) в некоторой области  $k$ , то амплитуда возмущений экспоненциально нарастает со временем и система неустойчива. Однако на основании лишь знака  $\operatorname{Im} \omega$  нельзя делать вывод о росте возмущений в фиксированной точке пространства.

Реально возмущение представляет собой не монохроматическую волну, а совокупность таких волн — волновой пакет. Монохроматические волны, входящие в пакет, экспоненциально нарастают, а сам волновой пакет при этом сносится. Конкуренция этих двух противоположных факторов — роста амплитуды возмущений при  $t \rightarrow \infty$  за счет неустойчивости и уменьшения за счет перемещения ограниченного в пространстве пакета — и определяют поведение возмущений в фиксированной точке пространства  $x$ .

Для адекватного описания динамики развития возмущений в неустойчивой системе требуется, вообще говоря, решение начальной задачи. Однако можно показать, что при  $t \rightarrow \infty$  характер неустойчивости определяется исключительно дисперсионным уравнением и от вида начальных условий не зависит [1–4]. Если возмущения в фиксированной точке неустойчивой системы нарастают со временем, то в таком случае говорят об абсолютной неустойчивости. Если же эти возмущения не нарастают в фиксированной точке  $x$  (обычно стремятся к нулю), то говорят о конвективной (сносовой) неустойчивости. Характер неустойчивости определяется точками ветвления функций  $k = k(\omega)$  — решений дисперсионного уравнения. Если найдется хотя бы одна точка ветвления  $\omega = \omega_1 + i\omega_2$  с положительной мнимой частью  $\omega_2 > 0$ , причем это есть точка ветвления волн  $k = k(\omega)$ , соответствующих различным на-

правлениям распространения, то система является абсолютно неустойчивой. Если таких точек ветвлений в неустойчивой системе нет, то неустойчивость конвективна.

Рассмотрим дисперсионное уравнение для двух связанных волн

$$(\omega - \omega_p(k))(\omega - ku - \omega_b(k)) = \theta. \quad (1)$$

Такое уравнение описывает, например, неустойчивость электронного пучка, движущегося со скоростью  $u$  в плазме в режиме коллективного эффекта Черенкова [5, 6]. Функции  $\omega_p(k)$  и  $\omega_b(k)$  определяют спектр частот плазменной и пучковой волн соответственно. Параметр  $\theta$  задает связь двух волн, причем его знак может быть, как положительным, так и отрицательным. Наиболее сильная связь двух волн имеет место вблизи точки пересечения их дисперсионных кривых, которая находится из системы уравнений

$$\begin{aligned} \omega_0 &= \omega_p(k_0), \\ \omega_0 &= ku + \omega_b(k_0). \end{aligned} \quad (2)$$

Предполагая волновой пакет достаточно узким и разлагая функции  $\omega_{p,b}(k)$  в ряд относительно  $k - k_0$ , ограничившись линейным приближением, получим

$$(\omega - \omega_0 - v_p(k - k_0))(\omega - \omega_0 - v_b(k - k_0)) = \theta, \quad (3)$$

где  $v_p = \frac{\partial \omega_p}{\partial k}(k_0)$ ,  $v_b = u + \frac{\partial \omega_b}{\partial k}(k_0)$  — групповые скорости волн.

Характер неустойчивости системы с таким дисперсионным уравнением определяется правилами Стэррока. Возможны четырех различных случая [1–4].

1) Если  $v_p v_b > 0$ ,  $\theta > 0$ , то вещественным  $k - k_0$  соответствуют вещественные  $\omega - \omega_0$ , вещественным  $\omega - \omega_0$  соответствуют вещественные  $k - k_0$ , а значит, система устойчива и волны распространяются без усиления.

2) Если  $v_p v_b < 0$ ,  $\theta > 0$ , то вещественным  $k - k_0$  соответствуют вещественные  $\omega - \omega_0$ , а значит, система устойчива. Вещественным  $\omega - \omega_0$  в некоторой области частот соответствуют комплексно сопряжен-

ные  $k - k_0$ . Мнимые части  $k - k_0$  означают не усиление в одном из направлений, а затухание в противоположном (непропускание колебаний).

3) Если  $v_p v_b > 0$ ,  $\theta < 0$ , то вещественным  $k - k_0$  в некоторой области соответствуют комплексно сопряженные  $\omega - \omega_0$ , а значит, система конвективно неустойчива. Вещественным  $\omega - \omega_0$  в некоторой области частот соответствуют комплексно сопряженные  $k - k_0$ . Наличие мнимых частей у  $k - k_0$  означает усиление.

4) Если  $v_p v_b < 0$ ,  $\theta < 0$ , то вещественным  $k - k_0$  в некоторой области соответствуют комплексно сопряженные  $\omega - \omega_0$ , вещественным  $\omega - \omega_0$  соответствуют вещественные  $k - k_0$ , при этом система абсолютно неустойчива и стационарное состояние не устанавливается.

Близи полосы непрозрачности системы групповая скорость одной из волн равна нулю и необходим учет следующего члена разложения по  $k - k_0$ . Полагая  $v_p = 0$ , преобразуем дисперсионное уравнение к виду:

$$(\omega - \omega_0 - \alpha(k - k_0)^2)(\omega - \omega_0 - v_b(k - k_0)) = \theta. \quad (4)$$

Вводя новые безразмерные переменные перепишем (4)

$$(\tilde{\omega} - \tilde{\alpha}\tilde{k}^2)(\tilde{\omega} - \tilde{k}) = \tilde{\theta}, \quad (5)$$

где  $\tilde{\theta} = \pm 1$  [6]. В дальнейшем знак тильды опускаем, сохранив таким образом прежние обозначения, а также считаем, что  $\alpha > 0$ . Уравнение, аналогичное (5) при  $\omega \ll k$  во втором множителе, рассматривалось в [7]. Однако такое пренебрежение фактически приводит к уравнению, описывающему устойчивые колебания, а также искажает асимптотику корней  $k(\omega)$  при  $\text{Im } \omega \rightarrow \infty$ , что существенно для классификации волн по направлениям распространения. В настоящей работе анализируется дисперсионное уравнение с точной зависимостью от частоты.

Решения  $\omega(k)$  уравнения (5) имеют вид

$$\omega = \frac{1}{2} \left\{ k(\alpha k + 1) \pm \sqrt{k^2(\alpha k - 1)^2 + 4\theta} \right\}. \quad (6)$$

Если  $\theta = +1$ , то подкоренное выражение в (6) всегда положительно, а значит, оба значения  $\omega$  вещественны и система устойчива. Любое начальное возмущение не будет нарастать со временем. Поведение дисперсионных кривых в этом случае для  $\alpha = 1$  показано на рис. 1. Пунктирные линии представляют собой дисперсионные кривые, определяемые уравнениями  $\omega - \alpha k^2 = 0$  и  $\omega - k = 0$ , сплошные линии — решение дисперсионного уравнения (5) с учетом связи волн.

При  $\theta = -1$  в области волновых чисел, определяемых неравенствами

$$-2 < k(\alpha k - 1) < 2, \quad (7)$$

частоты  $\omega$  — решения дисперсионного уравнения (5) становятся комплексно сопряженными и в системе

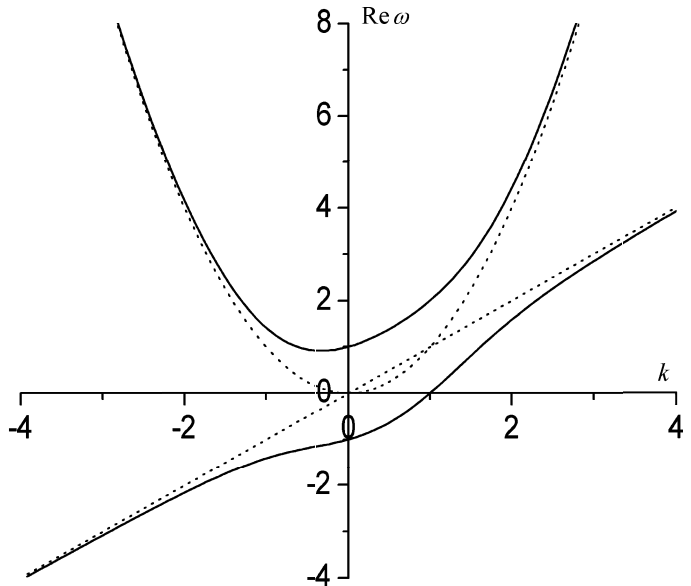


Рис. 1. Дисперсионные кривые при  $\theta = 1$ ,  $\alpha = 1$ . Штрихованные кривые — те же волны в отсутствие связи

развивается неустойчивость. Решая систему неравенств (7) для случая  $\alpha > 0$ , определяем, что при  $\alpha > 1/8$  волновые числа  $k$ , при которых развивается неустойчивость, расположены в следующей области:

$$\frac{1 - \sqrt{1 + 8\alpha}}{2\alpha} < k < \frac{1 + \sqrt{1 + 8\alpha}}{2\alpha}. \quad (8)$$

В случае же  $\alpha < 1/8$  таких областей две:

$$\begin{aligned} \frac{1 - \sqrt{1 + 8\alpha}}{2\alpha} &< k < \frac{1 - \sqrt{1 - 8\alpha}}{2\alpha}, \\ \frac{1 + \sqrt{1 - 8\alpha}}{2\alpha} &< k < \frac{1 + \sqrt{1 + 8\alpha}}{2\alpha} \end{aligned} \quad (9)$$

в соответствии с количеством точек пересечения параболы  $\omega = \alpha k^2$  с прямой  $\omega = k$  ( $k = 0$ ,  $k = 1/\alpha$ ), в которых значение инкремента  $\text{Im } \omega = 1$ . На рис. 2, 3 изображены дисперсионные кривые (сплошные линии на рис. 2, a, 3, a) и инкременты неустойчивости при  $\theta = -1$  для случаев  $\alpha = 1$  и  $\alpha = 0.1$  соответственно. В области волновых чисел  $k$ , где имеется неустойчивость, решения (6) комплексно сопряженные. Положительная мнимая часть представляет собой инкремент неустойчивости, зависимость которого от  $k$  показана на рис. 2, б, 3, б. Вещественная часть частоты в области неустойчивости изображена штрихованной кривой на рис. 2, a, 3, a. Пунктирные кривые те же, что и на рис. 1.

Определим теперь характер неустойчивости системы, описываемой дисперсионным уравнением (5) с  $\theta = -1$ . Точки ветвления функций  $k = k(\omega)$  — решений дисперсионного уравнения (5) — определяются системой [1-4]

$$D(\omega, k) = 0, \quad \frac{\partial D(\omega, k)}{\partial k} = 0. \quad (10)$$

Используя дисперсионное уравнение (5), из (10) можно получить уравнение пятой степени относительно  $\omega$  для определения точек ветвления

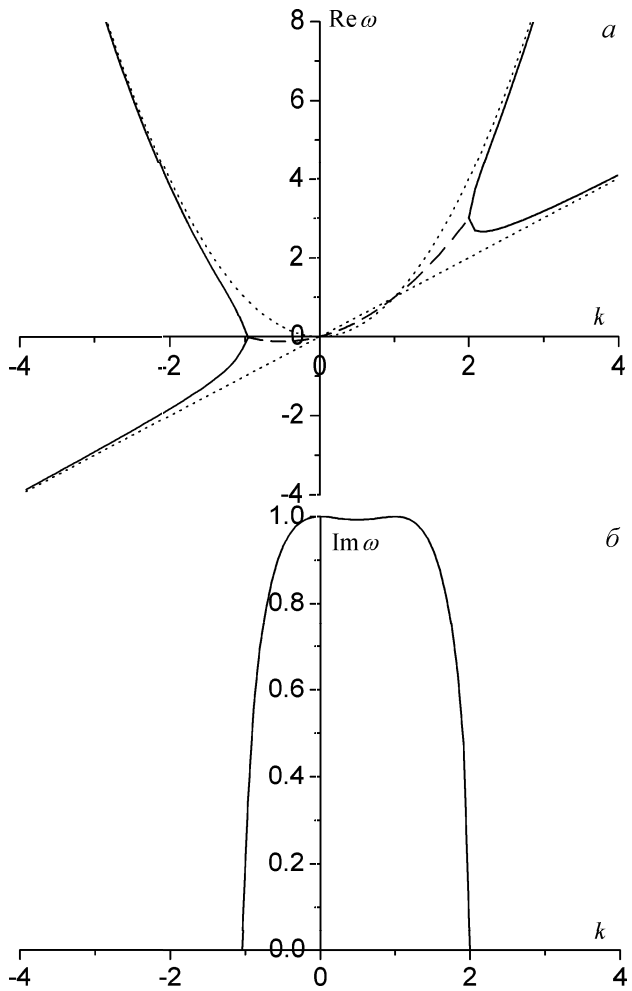


Рис. 2. Дисперсионные кривые (а) и инкремент неустойчивости (б) при  $\theta = -1$ ,  $\alpha = 1$ . Пунктирная кривая —  $\text{Re } \omega$  в области неустойчивости. Штрихованная кривая — те же волны в отсутствие связи

$\omega = \omega_1 + i\omega_2$ . Это уравнение в случае  $\alpha > 1/8$  имеет один вещественный и четыре комплексных корня, в случае  $\alpha < 1/8$  — три вещественных и два комплексных корня. Вещественные точки ветвления функций  $k = k(\omega)$  на рис. 2, а, 3, а соответствуют значениям  $\omega$ , в которых два значения  $k$  сливаются в одно. Таким образом, в зависимости от величины  $\alpha$  имеем либо одну, либо две точки ветвления с положительной мнимой частью  $\omega_2 > 0$ .

Дисперсионное уравнение (5) для заданного значения  $\omega$  определяет три волны с различными  $k$ . Устремляя мнимую часть частоты  $\text{Im } \omega \rightarrow \infty$  при фиксированной вещественной части  $\text{Re } \omega$ , можно получить асимптотическое поведение корней:

$$k(\omega) \approx i\text{Im } \omega, \quad k(\omega) \approx \pm(1+i)\sqrt{\text{Im } \omega/2\alpha}. \quad (11)$$

Два из них соответствуют волнам, затухающим в положительном направлении оси  $x$ , один — в отрицательном. Предельный переход  $\text{Im } \omega \rightarrow \infty$  означает мгновенное включение источника возмущений с частотой  $\text{Re } \omega$  в некоторой точке пространства с координатой  $x$ . А значит, распространяющимися в данном направлении с частотой  $\text{Re } \omega$  следует считать волны, затухающие в данном направлении при

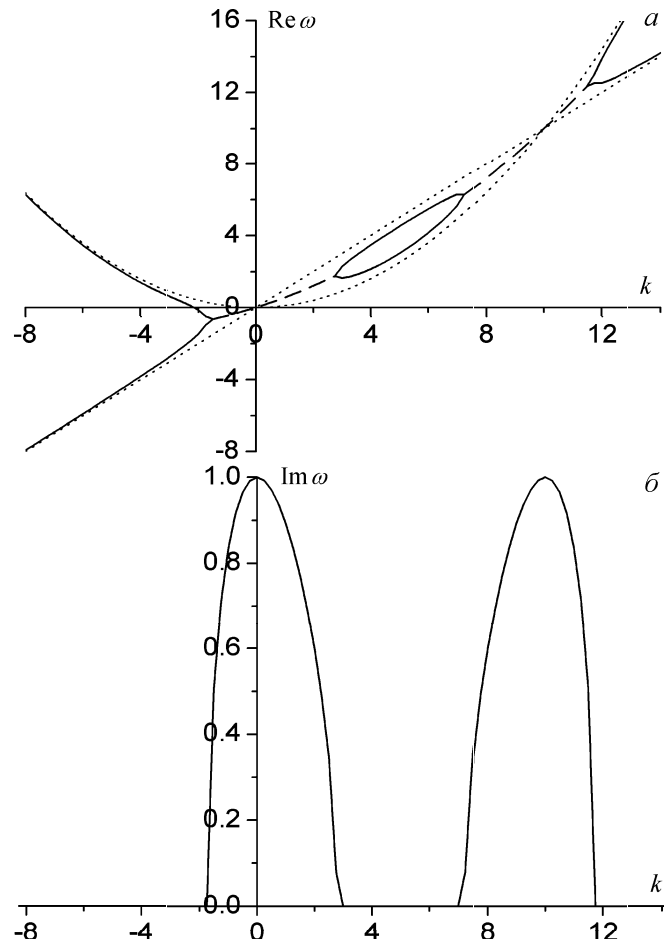


Рис. 3. Дисперсионные кривые (а) и инкремент неустойчивости (б) при  $\theta = -1$ ,  $\alpha = 0.1$ . Пунктирная кривая —  $\text{Re } \omega$  в области неустойчивости. Штрихованная кривая — те же волны в отсутствие связи

стремлении  $\text{Im } \omega \rightarrow \infty$  [1–4]. Такая классификация волн по направлению распространения соответствует принципу причинности. Характер неустойчивости системы определяется поведением корней  $k(\omega)$  вблизи точек ветвления с  $\text{Im } \omega > 0$ . А именно, если имеется хотя бы одна точка ветвления с  $\text{Im } \omega > 0$ , в которой ветвятся корни  $k(\omega)$ , соответствующие волнам с различными направлениями распространения (мнимые части  $\text{Im } k$  имеют разные знаки при  $\text{Im } \omega \rightarrow \infty$ ), то система абсолютно неустойчива. Причем асимптотическое поведение возмущений при  $t \rightarrow \infty$  определяется точкой ветвления волн  $k(\omega)$  с различным направлением распространения и максимальной мнимой частью, т. е.  $\sim \exp(\omega_2 t - i\omega_1 t)$ . Во всех других случаях неустойчивая система конвективно неустойчива [1–4].

На рис. 4 представлено поведение корней  $k(\omega)$  на комплексной плоскости для случая  $\alpha = 1$  при изменении частоты вдоль контура  $\text{Re } \omega = \omega_1$ ,  $+\infty > \text{Im } \omega > \omega_2$ . Три набора точек с разными маркерами соответствуют трем различным ветвям  $k(\omega)$ . Уменьшая мнимую часть частоты  $\text{Im } \omega$  от достаточно большого значения до  $\omega_2$ , при фиксированной вещественной части  $\omega_1$  получим эти три набора точек  $k(\omega)$ , два из которых стремятся к одному

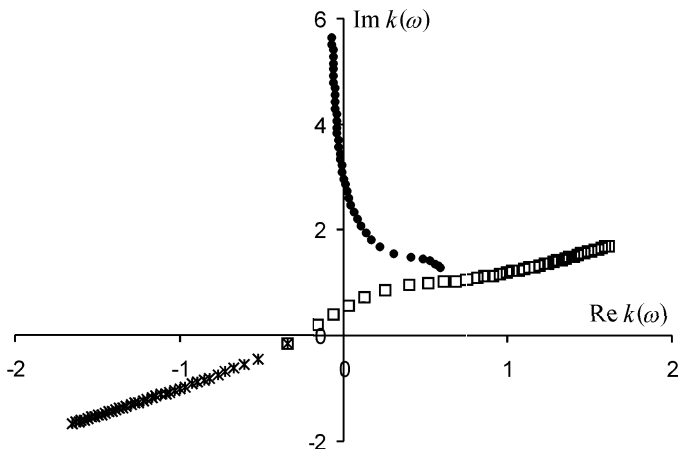


Рис. 4. Поведение корней  $k(\omega)$  на комплексной плоскости при изменении частоты  $\omega$  от  $\omega_1 + i\infty$  до  $\omega_1 + i\omega_2$

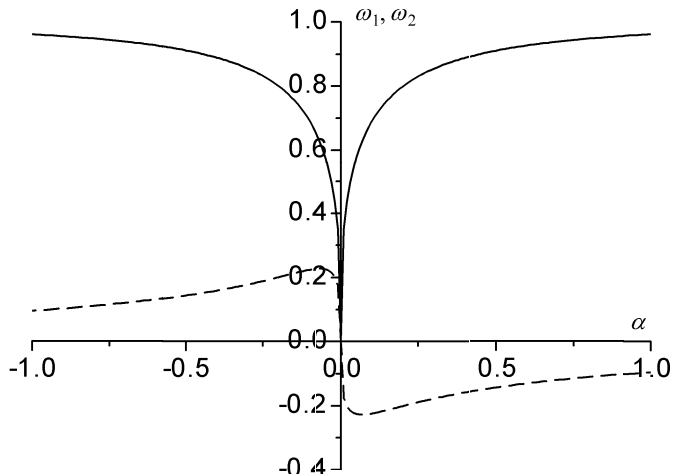


Рис. 5. Зависимость вещественной  $\omega_1$  (пунктирная кривая) и мнимой  $\omega_2$  (сплошная кривая) частей частоты развития абсолютной неустойчивости от  $\alpha$

пределу (точка  $k = -0.34 - 0.16i$  на рис. 4). Так как в данной точке ветвления сходятся корни  $k(\omega)$ , соответствующие волнам с различным направлением распространения, то мы имеем случай абсолютной неустойчивости [1-4]. Повторяя аналогичные вычисления при других значениях  $\alpha > 0$  для всех точек ветвления функций  $k(\omega)$  с положительной мнимой частью  $\omega_2 > 0$ , можно убедиться, что неустойчивость остается абсолютной.

Случай  $\alpha < 0$  не требует специального рассмотрения, так как заменой  $\alpha \rightarrow -\alpha$ ,  $k \rightarrow -k$ ,  $\omega \rightarrow -\omega$  уравнение (5) сводится к уже рассмотренному, с положительным коэффициентом перед  $k^2$ . Таким образом, рис. 1, 2, *a*, 3, *a* следует просто отразить относительно начала координат, а рис. 2, *b*, 3, *б* — относительно оси ординат. Изменится, однако, процедура определения характера неустойчивости. В новых переменных  $\text{Im } \omega$  следует изменять от  $-\infty$  до  $-\omega_2 < 0$ . Но так как дисперсионное уравнение (5) имеет вещественные коэффициенты, то изменение знака  $\text{Im } \omega$  приведет лишь к изменению всех знаков  $\text{Im } k(\omega)$ , а значит, характер неустойчивости не изменится. Асимптотически при  $t \rightarrow \infty$  в фиксированной точке пространства возмущения будут нарастать с тем же инкрементом  $\omega_2$  и противоположным значением частоты  $\omega_1$ .

На рис. 5 представлены зависимости инкремента  $\omega_2$  (сплошная кривая) и частоты  $\omega_1$  (штрихованная кривая) асимптотического поведения при  $t \rightarrow \infty$  возмущений  $\sim \exp(\omega_2 t - i\omega_1 t)$  как функции параметра  $\alpha$ . Как уже указывалось, система, описываемая дисперсионным уравнением (5), всегда абсолютно неустойчива. Изменение знака  $\alpha$  приводит к изменению знака  $\omega_1$ , скорость нарастания возмущений

в фиксированной точке при  $t \rightarrow \infty$  остается неизменной. При  $\alpha$  не близких к нулю  $\omega_2$  порядка величины инкремента неустойчивости монохроматической волны, при  $\alpha \rightarrow 0$  для адекватного анализа требуется учет следующего члена разложения ( $\sim k^3$ ) в первом множителе левой части уравнения (5).

Авторы благодарны А. А. Рухадзе за внимание к работе и полезное обсуждение.

Работа выполнена при финансовой поддержке программы «Университеты России» (проект УР.01.02.493), Минпромнауки (проект ведущие научные школы НШ-1962.2003.2) и РФФИ (проект 04-02-17240).

## Литература

1. Федорченко А.М., Коцаренко Н.Я. Абсолютная и конвективная неустойчивость в плазме и твердых телах. М., 1981.
2. Ландау Л.Д., Лишиц Е.М. Физическая кинетика. М., 2001.
3. Ахиезер А.И., Ахиезер И.А., Половин Р.В. и др. Электродинамика плазмы. М., 1974.
4. Александров А.Ф., Рухадзе А.А. Лекции по электродинамике плазмоподобных сред. Неравновесные среды. М., 2002.
5. Кузелев М.В., Рухадзе А.А., Стрелков П.С. Плазменная релятивистская СВЧ-электроника. М., 2002.
6. Карташов И.Н., Кузелев М.В., Рухадзе А.А. // Физика плазмы. 2004. **30**, № 1. С. 60.
7. Кузнецов А.П. // Письма в ЖТФ. 1982. **8**, № 15. С. 941.

Поступила в редакцию  
24.03.04